



GSA-5859 / PCA-5017

SIG em Software Livre

Sensoriamento Remoto

Carlos H. Grohmann

2021

Instituto de Energia e Ambiente
USP

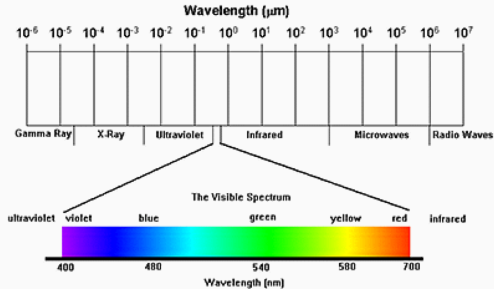
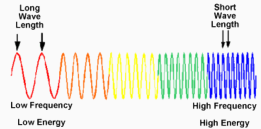
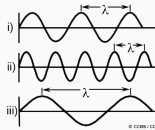
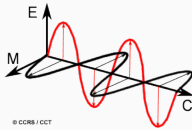
Definição 1 (INPE)

- “Utilização de sensores para aquisição de informações sobre objetos ou fenômenos sem que haja contato direto entre eles”
 - Sensores: são equipamentos capazes de coletar energia proveniente do objeto, convertê-la em sinal passível de ser registrado e apresentá-lo em forma adequada à extração de informações
 - Energia: na grande maioria das vezes é a energia eletromagnética ou radiação eletromagnética

Definição 2 (INPE)

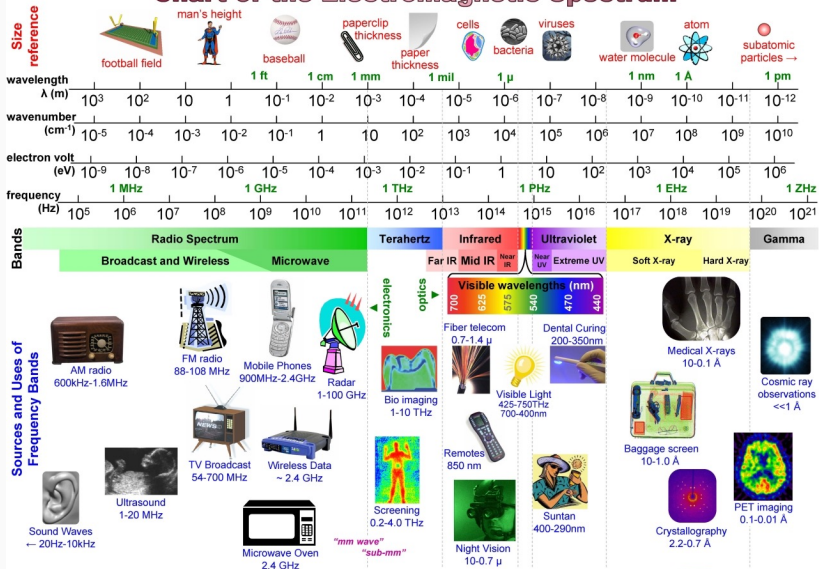
- “Conjunto das atividades relacionadas à aquisição e a análise de dados de sensores remotos”
 - Sensores remotos: sistemas fotográficos ou óptico-eletrônicos capazes de detectar e registrar, sob a forma de imagens ou não, o fluxo de energia radiante refletido ou emitido por objetos distantes

Radiação Eletromagnética (REM)



Plain frame

Chart of the Electromagnetic Spectrum



Sistema Visual Humano

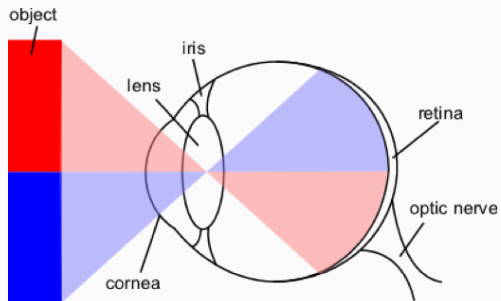
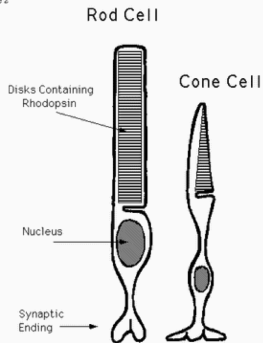


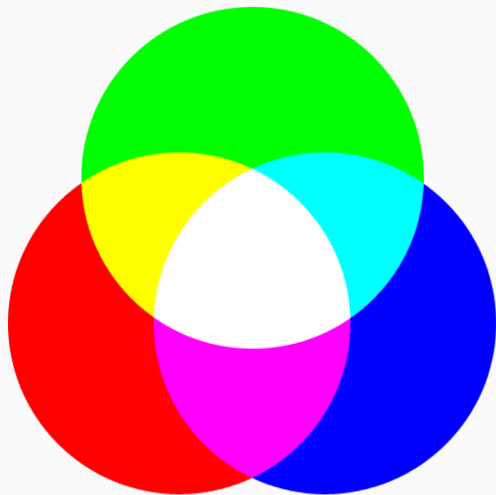
Figure 2



Sistema Visual Humano

- Bastonetes: $\sim 100 * 10^6$ por toda a retina, exceto no centro, onde a visão é mais acurada
 - para distinguir a variação no tom de cinza: $\sim 1\%$
 - aprox. 100 tons de cinza (idealmente)
- Cones: $\sim 6 - 7 * 10^6$ principalmente no centro da retina
 - só funcionam com luminosidade (com pouca luz, enxergamos em tons de cinza)
 - aprox. 100 tonalidades cada tipo
 - 3 tipos: Vermelho, Verde, Azul = $\sim 1.000.000$ cores !!
 - Somos seres Tricromáticos – enxergamos a partir de 3 cores

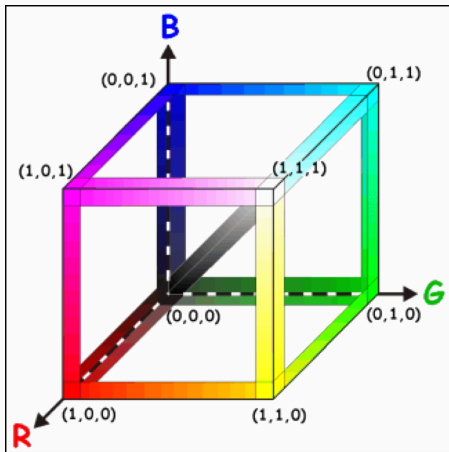
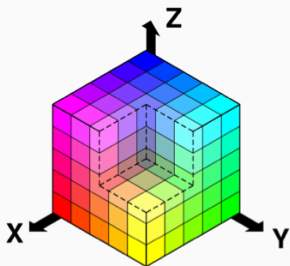
Sistema de Cores Aditivo (RGB)



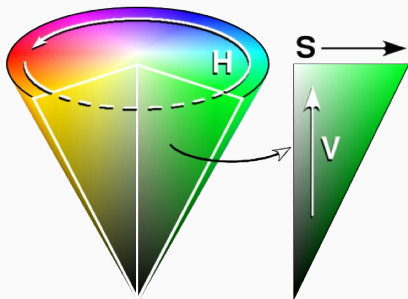
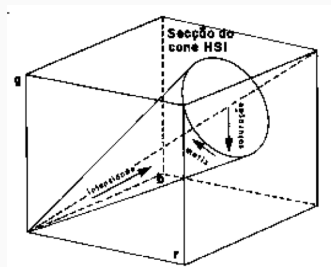
Sistema de Cores Subtrativo (CMYK)



Sistema de Cores – Cubo RGB

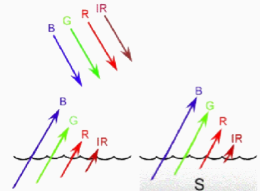
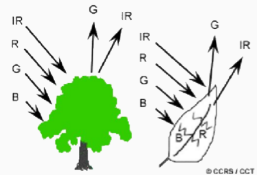


Sistema de Cores – Cone IHS



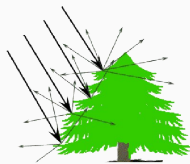
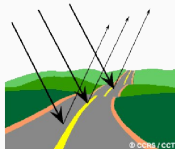
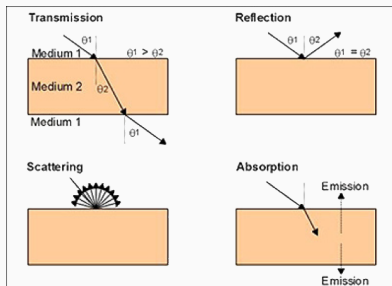
Cores dos objetos

- Cor do objeto depende do comprimento de onda refletido
- folhas: clorofila
 - absorve R e B
 - reflete G e NIR
- água
 - absorve G+R+NIR (comp. onda longos do visível)
 - presença de algas ou sedimentos



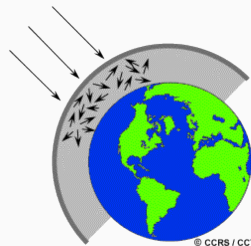
Comportamento da REM

- Transmissão
- Reflexão (especular/difusa)
- Espalhamento
- Absorção



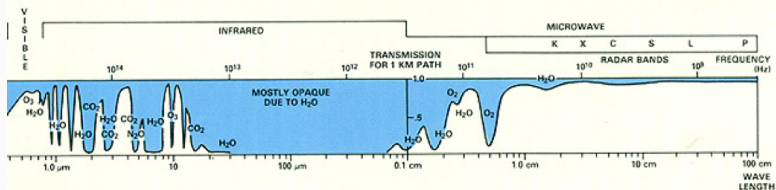
Espalhamento Atmosférico

- Espalhamento de Rayleigh
 - principal efeito de espalhamento atmosférico
 - partículas dispersas são muito menores que o comprimento de onda da REM (poeira, O₂, N₂, H₂O)
 - comprimentos de onda pequenos (UV, azul) sofrem muito mais espalhamento que comprimentos de onda maiores
- Espalhamento Não-Seletivo
 - afeta todos os comprimentos de onda
 - nuvens brancas



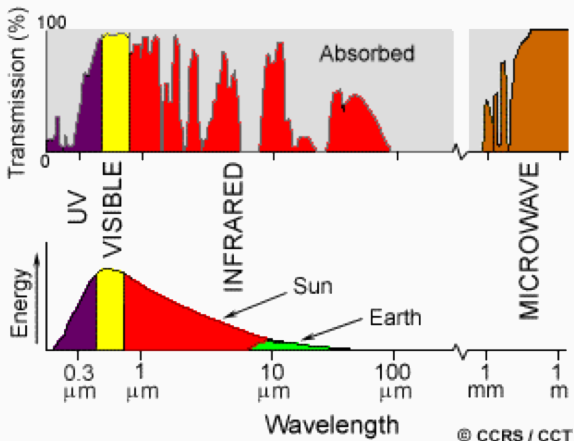
Janelas Atmosféricas

- Transmissão da REM pela atmosfera não é contínua
- Existem “janelas” criadas pela absorção da REM, principalmente pela água



Janelas Atmosféricas

- Energia das fontes (Sol, Terra) x janelas atm.
- Determinar os melhores comp. onda para SR
- Visível: janela + pico de energia solar

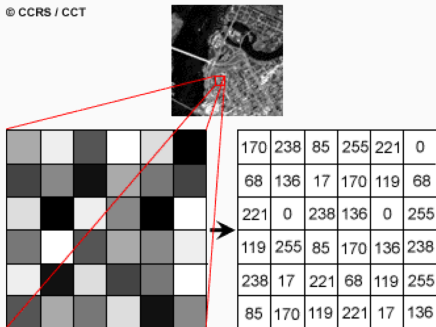


© CCRS / CCT

Imagem Digital

- matriz de pixels (raster)
- valor do pixel – digital number (DN)
- radiância no sensor
- imagem 8bits
 - $2^8=256$ (0-255)
 - 256 tons de cinza
 - 0 = preto
 - 255 = branco

© CCRS / CCT



Imagens Multiespectrais

- Sensores captam diferentes faixas do espectro
- Cada faixa é armazenada em uma **banda**
- Cada banda é representada em tons de cinza
- A fusão das bandas gera a imagem colorida
- pixel = picture element



Imagem RGB - Banda R



Imagem RGB - Banda G



Imagem RGB - Banda B



Sensores e Satélites

Tipos de Sensores

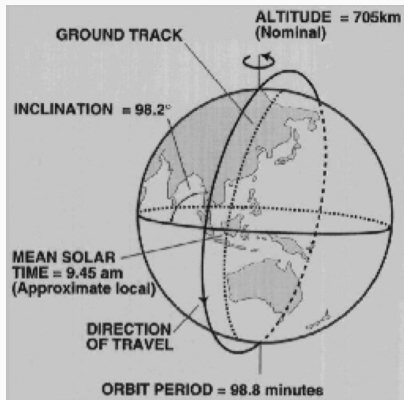
- **Fotográficos**
 - Imagem é capturada de uma só vez
- **Não-Fotográficos**
 - Imagem capturada pixel a pixel (scanner)

- **Sensores Passivos**
 - Registram energia refletida por fontes naturais (Sol)
 - maioria
- **Sensores Ativos**
 - Emitem sua própria energia e registram o sinal refletido
 - RADAR, LiDAR
 - Podem ser usados à noite

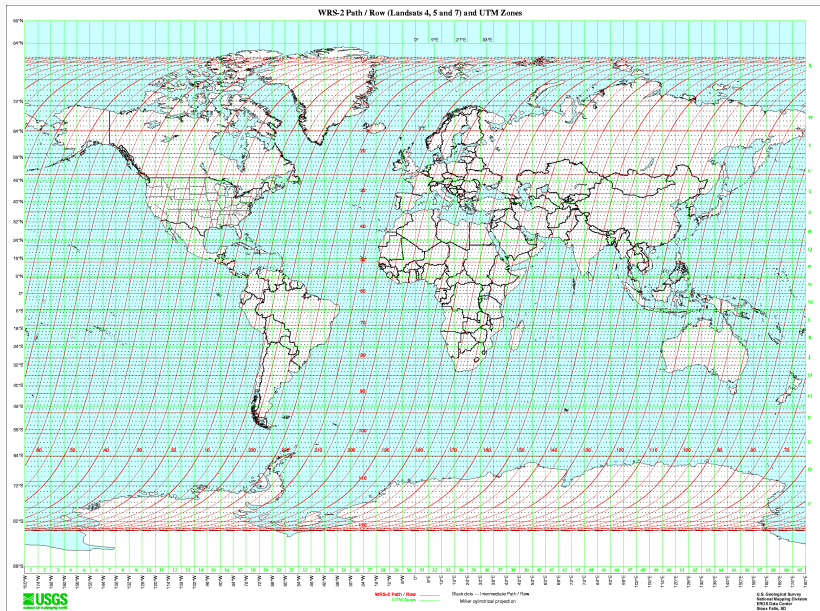
- **Plataformas**
 - Terrestre
 - Aeroportado
 - Orbital (Satélite, Ônibus espacial, OVNI...)

Satélites - Órbitas

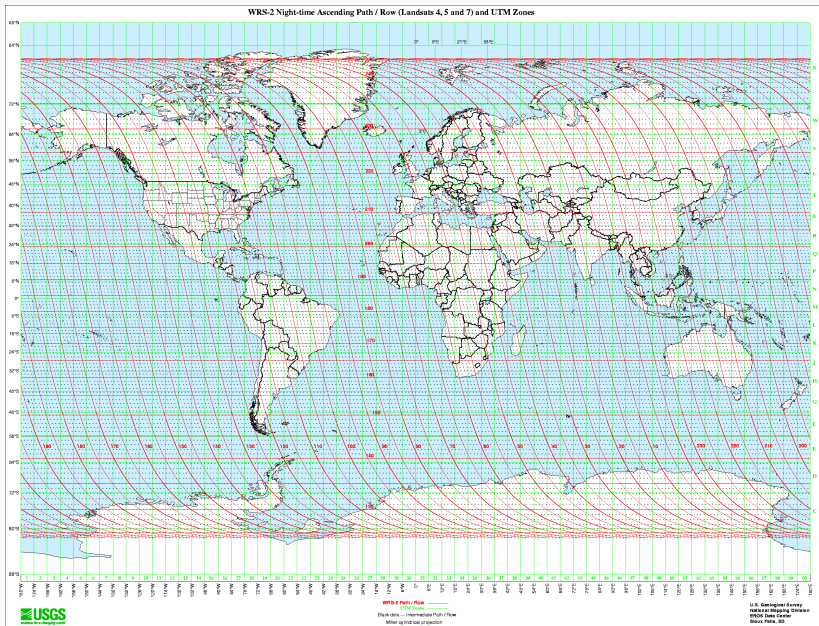
- Órbita – altitude da órbita determina campo de visão e período de revisita
- Geoestacionários – 36.000km altitude
- Heliossincrônicos – órbita acompanha horário local do sol
- órbitas:
 - descendente – dia
 - ascendente – noite
- Worldwide Reference System 2 (WRS2)



WRS2 - Órbitas Descendentes

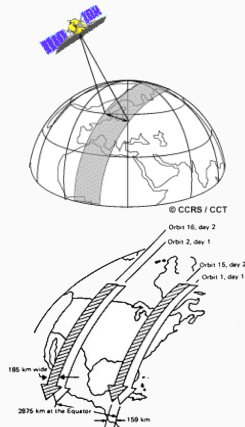


WRS2 - Órbitas Ascendentes



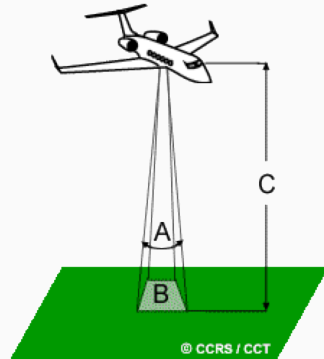
Satélites - Características

- swath - faixa imageada
- largura de dezenas a centenas de km
- período de revisita:
- tempo para imagear a mesma área (nadir) duas vezes
- overlap – área próximas dos pólos são imageadas mais frequentemente



Satélites - Resolução Espacial

- Resolução espacial – determina o tamanho do menor objeto que podemos reconhecer em uma imagem (tamanho do pixel)
- IFOV (Instantaneous Field Of View) – cone de visibilidade do sensor
- Altitude do sensor
- $B=C*A$



Satélites - Resolução Espacial

baixa

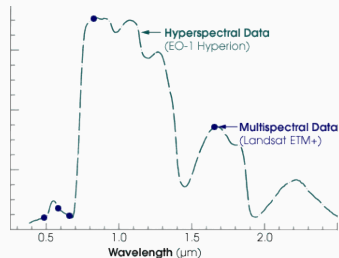
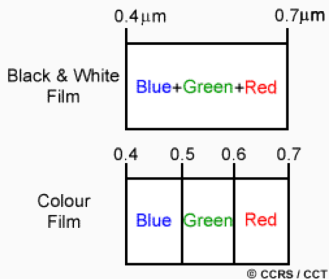


alta



Satélites - Resolução Espectral

- Resolução espectral - Capacidade do sensor em separar faixas no espectro EM
- Sensores Multiespectrais – 3...20 bandas
- Sensores Hiperespectrais – centenas !!



Satélites - Resolução Radiométrica

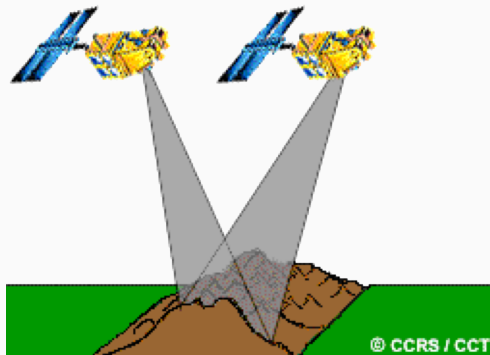
- Resolução radiométrica - Capacidade do sensor em diferenciar variação na intensidade de energia

2 bits - 4 tons de cinza 8 bits - 256 tons de cinza



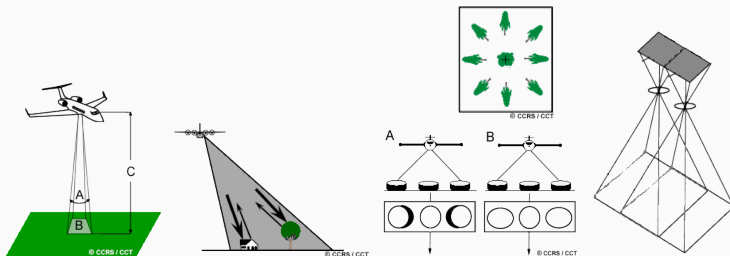
Satélites - Resolução Temporal

- Resolução temporal - Período de revisita
- Varia com a latitude, sobreposição entre faixas adjacentes e capacidade do sensor em off-nadir



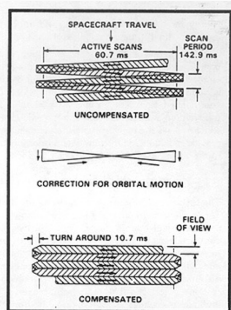
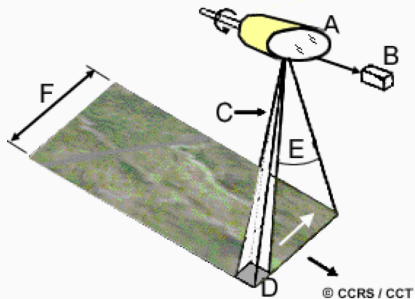
Sistemas de Imageamento - Fotografias Aéreas

- Alta resolução espacial
- Efeitos de distorção nas bordas
- Sobreposição: estereoscopia
- Fotografias digitais



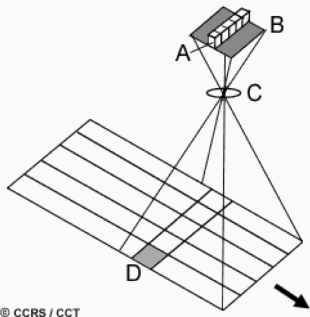
Sistemas de Imageamento - Sensores Multiespectrais (MSS)

- Across-track scanners
- Série de linhas perpendiculares ao movimento do sensor
- Espelho rotativo



Sistemas de Imageamento - Sensores Multiespectrais (MSS)

- Along-track scanners (pushbroom scanners)
- Array linear de sensores “empurrados” na direção do movimento
- Sensores “vêm” os objetos por mais tempo
- Calibração de centenas de sensores individuais



Operações em SR

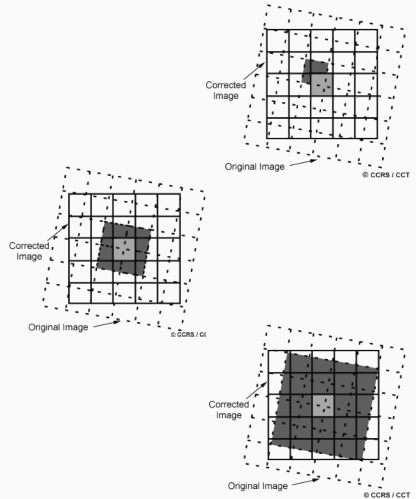
Operações em SR

- Pré-Processamento
 - Conversão radiância-reflectância
 - Correção Atmosférica

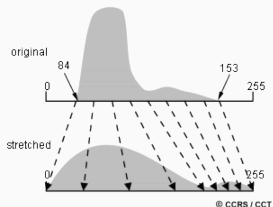
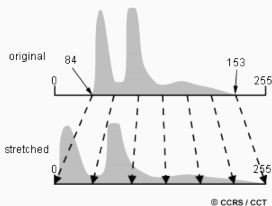
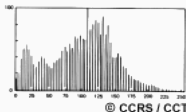
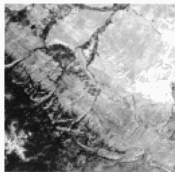
- Registro
- Realce
- Filtragem
- Composições
 - RGB
 - IHS

Georreferenciamento

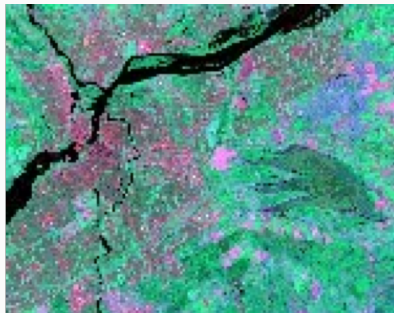
- Registro
(Georreferenciamento)
- Correção geométrica
- Projeção cartográfica
- Ground Control Points (GCPs)
- image-to-map /
image-to-image
- Vizinho mais próximo
- Interpolação bilinear
- Convolução cúbica



- Histograma – representação dos DNs
- Função de transferência de contraste (stretch)
 - linear
 - equalizada

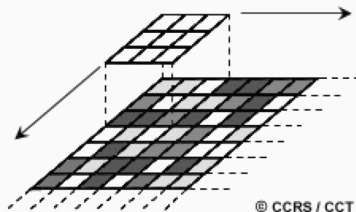


Realce Linear



Filtragem espacial

- Janelas Móveis
(moving-windows)
- 3x3, 5x5,...
- Freqüência espacial
 - alta freqüência: rodovias, bordas
 - baixa freqüência: áreas homogêneas
- Passa-baixas: média, moda
- Passa-altas: laplacianos
- Direcionais



Filtro de média – passa-baixas

25	27	32	20	21	19	24
23	27	19	25	22	18	25
27	26	24	26	22	22	26
23	25	28	30	27	25	27
19	22	28	32	29	27	25
17	19	25	27	30	31	22
20	21	25	23	21	19	17

Imagem original

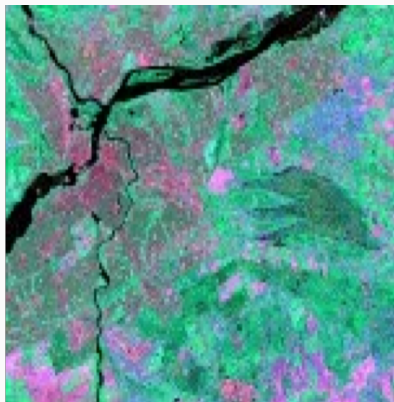
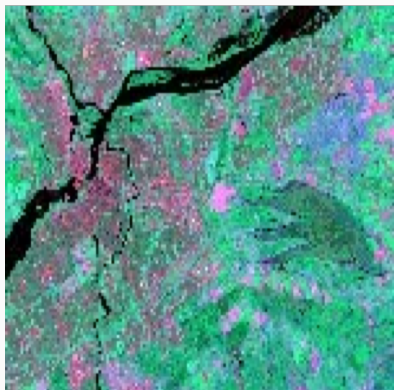
	26	25	23	22	22	
	25	26	25	24	26	
	25	27	27	27	26	
	23	26	28	29	27	
	22	25	27	27	25	

Imagem filtrada

Pixel central = 1/9

$$\left[\begin{array}{l} 24 + 26 + 22 \\ + 28 + 30 + 27 \\ + 28 + 32 + 29 \end{array} \right] = 27$$

Filtro de média – passa-baixas



Filtro de média – passa-baixas

25	27	32	20	21	19	24
23	27	19	25	22	18	25
27	26	24	26	22	22	26
23	25	28	30	27	25	27
19	22	28	32	29	27	25
17	19	25	27	30	31	22
20	21	25	23	21	19	17

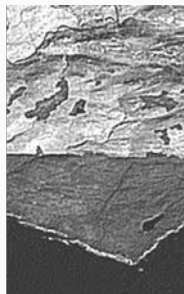
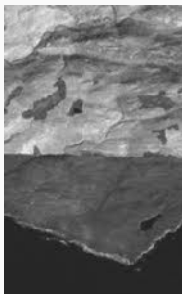
Imagem original

	26	25	23	22	22	
	25	26	25	24	26	
	25	27	27	27	26	
	23	26	28	29	27	
	22	25	27	27	25	

Imagem filtrada

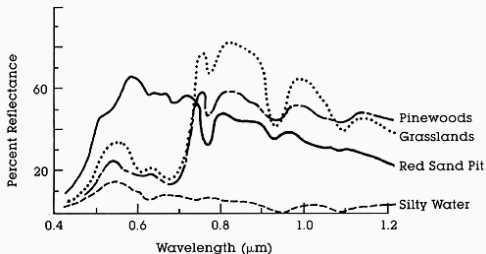
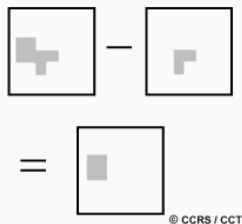
Pixel central = 1/9

$$\left[\begin{array}{l} 24+26+22 \\ +28+30+27 \\ +28+32+29 \end{array} \right] = 27$$



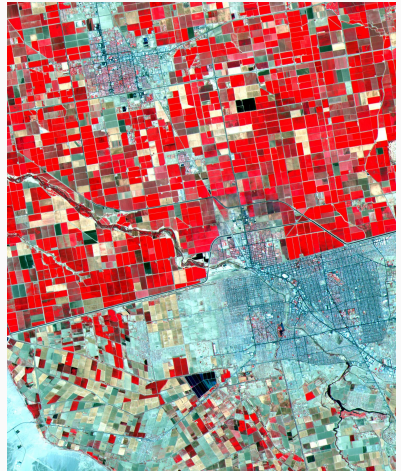
Operações Aritméticas

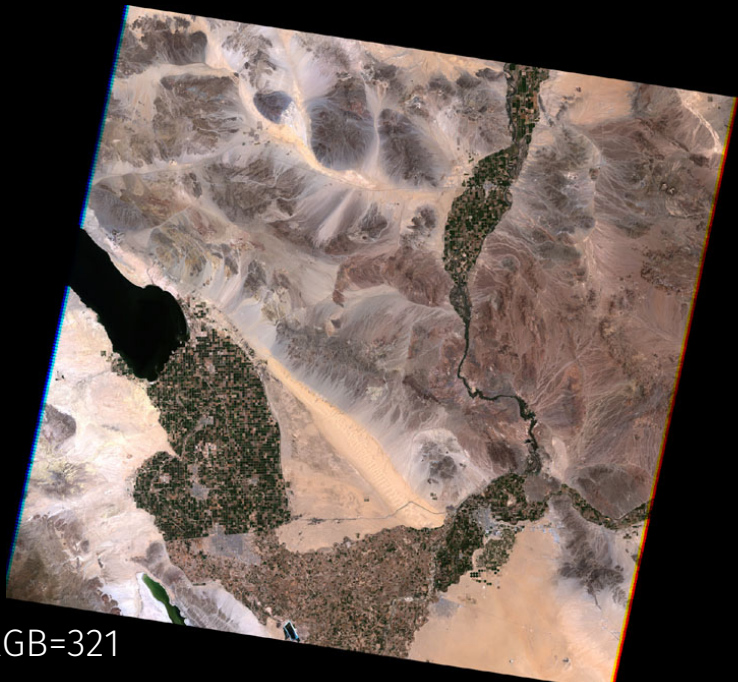
- Subtração: mais usada em análise temporal
- Razão: realça diferenças de comportamentos espectrais



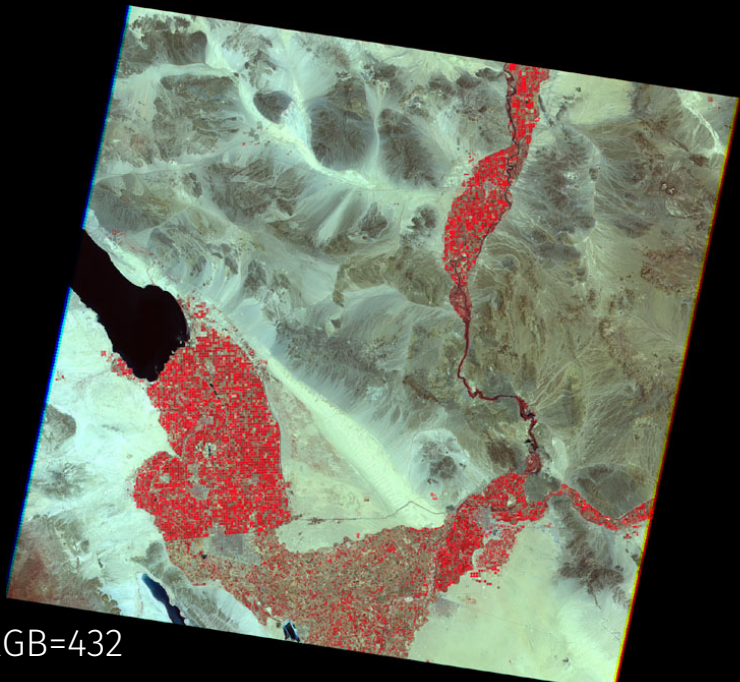
Composição RGB

- Ressaltar diferentes respostas espectrais
- feição de interesse: **vermelho**

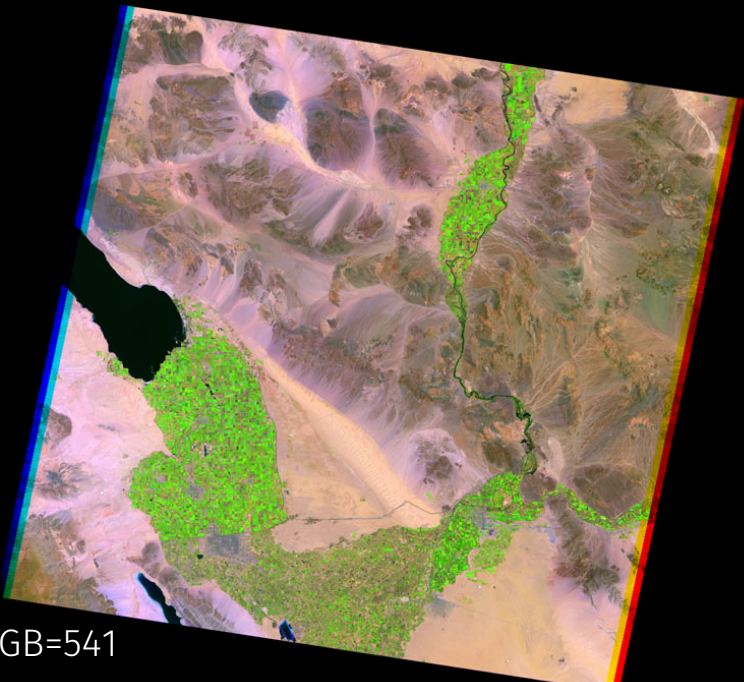




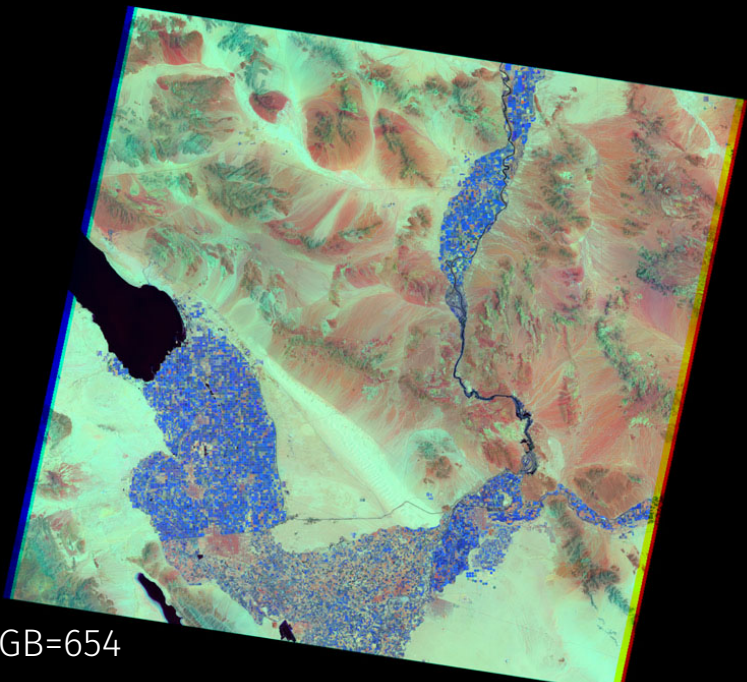
RGB=321



RGB=432



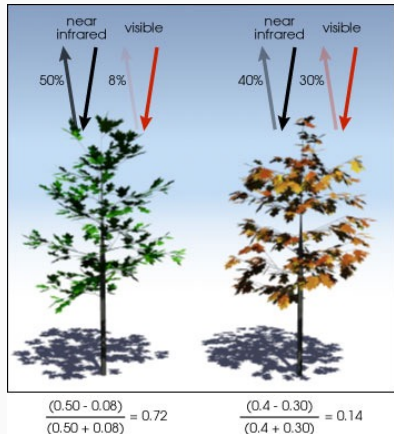
RGB=541



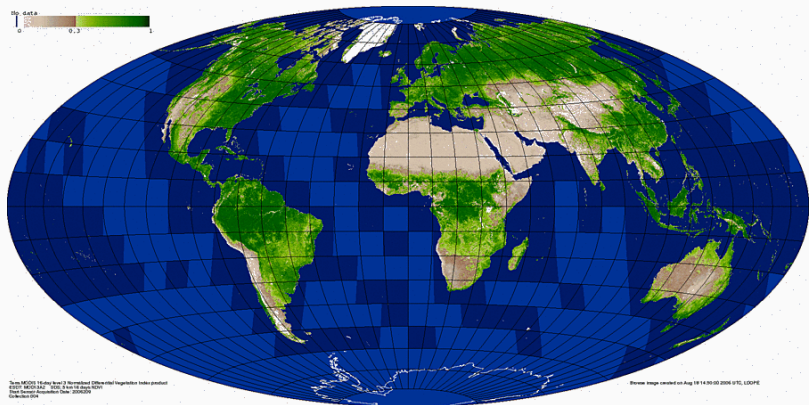
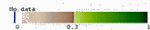
RGB=654

Índices de Vegetação

- Normalized Difference Vegetation Index (NDVI)
- $NDVI = (NIR - R) / (NIR + R)$
- TN/ETM+
 - $NDVI = (4 - 3) / (4 + 3)$
- AVHRR
 - $NDVI = (2 - 1) / (2 + 1)$
- MODIS
 - $NDVI = (2 - 1) / (2 + 1)$



NDVI



From MODIS 16-day Level 2 Normalized Difference Vegetation Index product
Global MODIS L2A - NDVI 4 km 16-day NDVI
Data courtesy of the University of Texas, 2002/2006
© 2006 NASA

Global image created on Aug 19 14:30:00 2006 UTC, L2DPF6

Composição IHS

- Composições IHS (ou HSV, HSB..)
- Pan-sharpening
- Adicionar informação textural da banda pan à informação textural das bandas multiespectrais
- RGB p/ IHS
- substitui o canal de Intensidade pela banda Pan
- IHS p/ RGB

Pan-sharpening

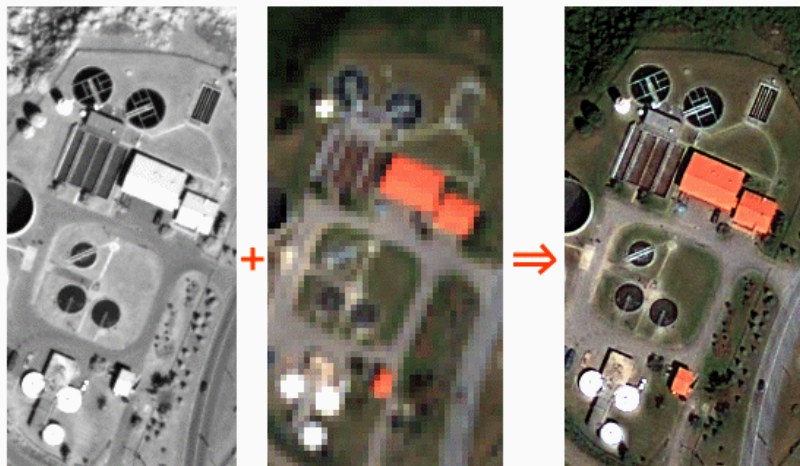


Image Source: © 2004 DigitalGlobe, Inc. All RIGHTS RESERVED

Pan-sharpening



Principais Satélites e Sensores

- Meteorológicos
 - GOES, AVHRR
- Recursos Terrestres
 - Landsat, SPOT, CBERS, ASTER, Sentinel
 - RADAR – Radarsat, JERS, SRTM, Sentinel
- Alta Resolução
 - Ikonos, QuickBird, WorldView, Planet
- Hiperespectrais
 - Hyperion

GOES - Geostationary Operational Environmental Satellite

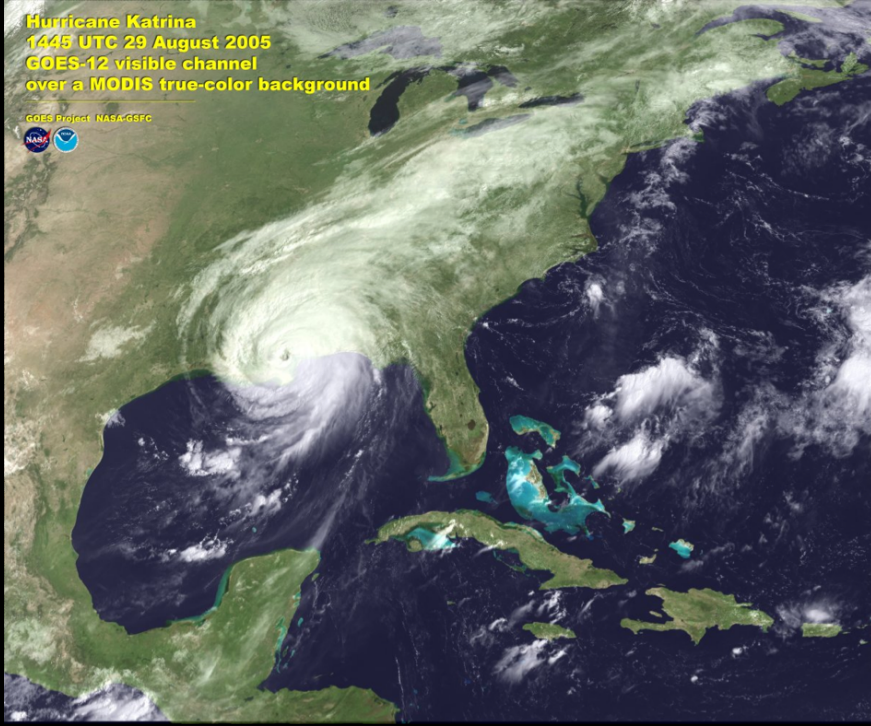
Band	Wavelength Range (>μm)	Spatial Resolution	Application
1	0.52 - 0.72 (visible)	1 km	cloud, pollution, and haze detection; severe storm identification
2	3.78 - 4.03 (shortwave IR)	4 km	identification of fog at night; discriminating water clouds and snow or ice clouds during daytime; detecting fires and volcanoes; night time determination of sea surface temperatures
3	6.47 - 7.02 (upper level water vapour)	4 km	estimating regions of mid-level moisture content and advection; tracking mid-level atmospheric motion
4	10.2 - 11.2 (longwave IR)	4 km	identifying cloud-drift winds, severe storms, and heavy rainfall
5	11.5 - 12.5 (IR window sensitive to water vapour)	4 km	identification of low-level moisture; determination of sea surface temperature; detection of airborne dust and volcanic ash

NOAA AVHRR - Advanced Very High Resolution Radiometer

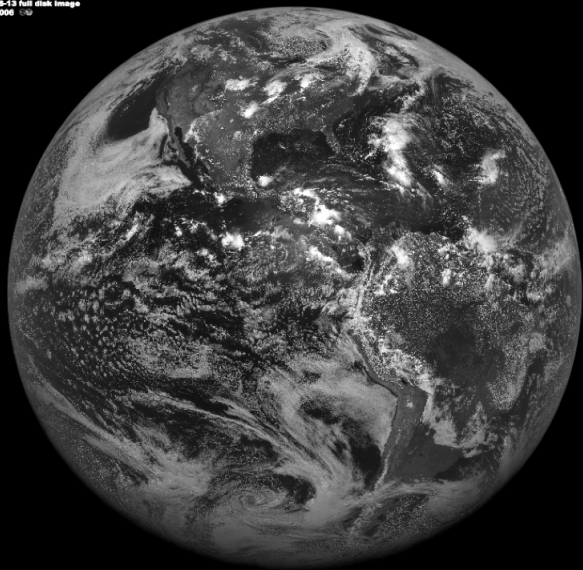
Band	Wavelength Range (μm)	Spatial Resolution	Application
1	0.58 - 0.68 (red)	1.1 km	cloud, snow, and ice monitoring
2	0.725 - 1.1 (near IR)	1.1 km	water, vegetation, and agriculture surveys
3	3.55 - 3.93 (mid IR)	1.1 km	sea surface temperature, volcanoes, and forest fire activity
4	10.3 - 11.3 (thermal IR)	1.1 km	sea surface temperature, soil moisture
5	11.5 - 12.5 (thermal IR)	1.1 km	sea surface temperature, soil moisture

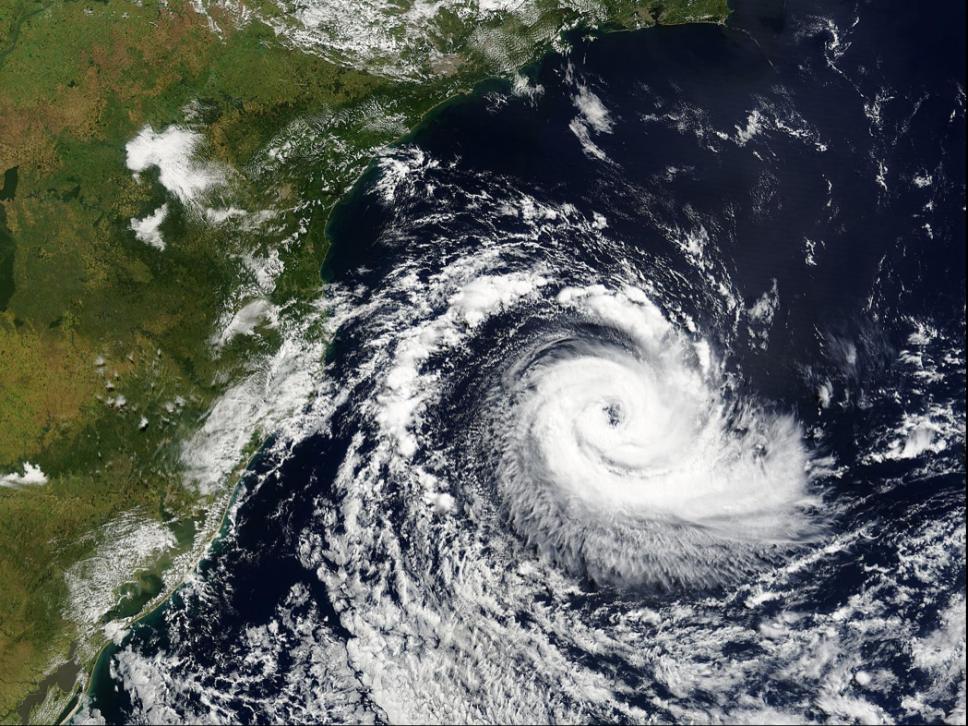
Hurricane Katrina
1445 UTC 29 August 2005
GOES-12 visible channel
over a MODIS true-color background

GOES Project NASA-GSFC



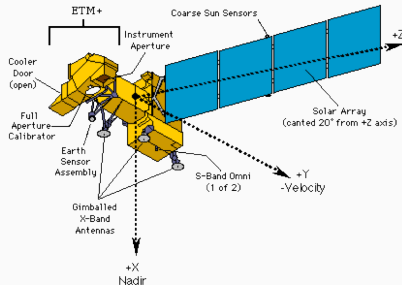
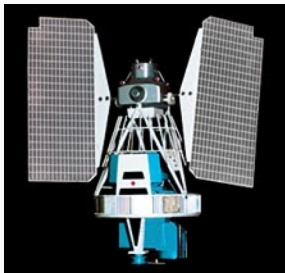
First GOES-13 full disk image
22 June 2006 014



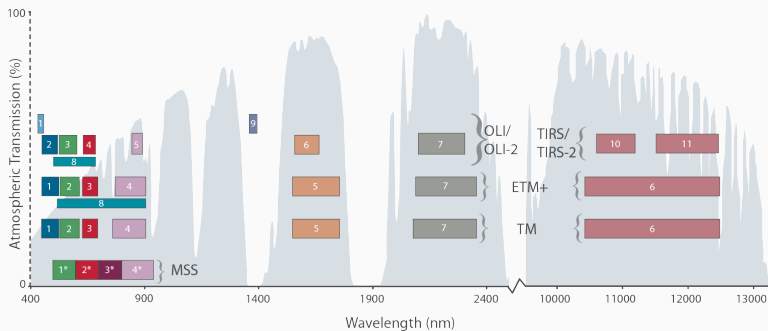


Recursos Terrestres – Landsat

- Landsat 1 – 1972 – sensor MSS (MultiSpectral Scanne)
- Landsat 5 – 1984 – sensor TM (Thematic Mapper)
- Landsat 7 – 1999 – sensor ETM+ (Enhanced Thematic Mapper plus)
- Landsat 8 – 2013 – sensor OLI (Operational Land Imager)
- Landsat 9 – 2021/09 - sensor OLI-2

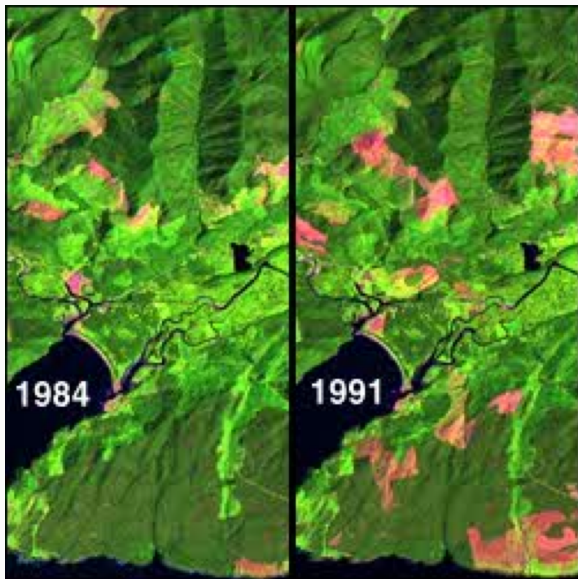


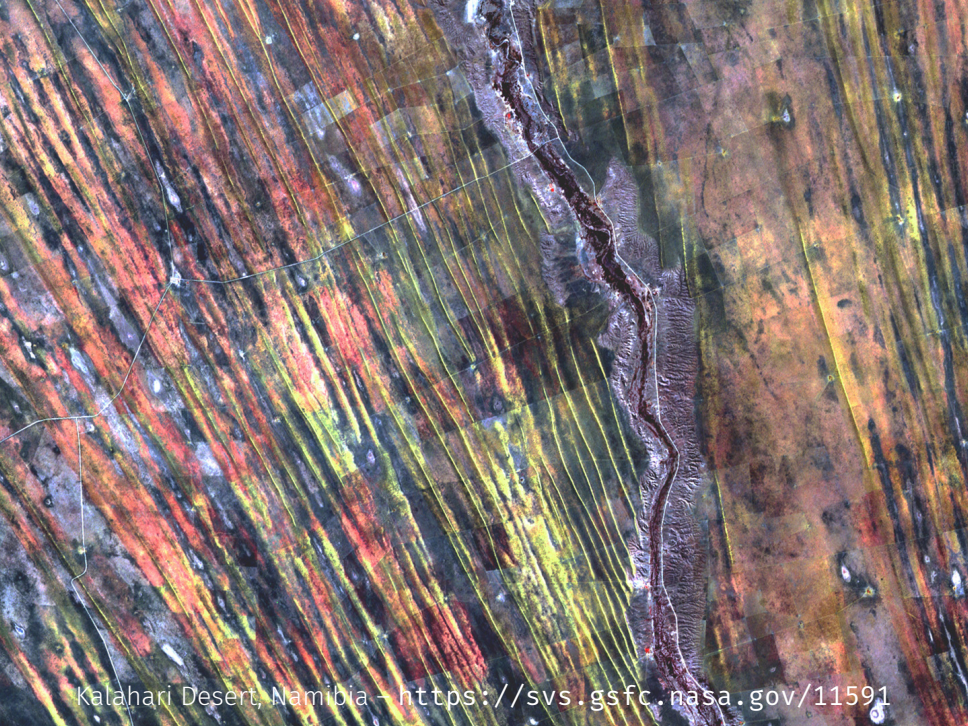
Landsat - bandas



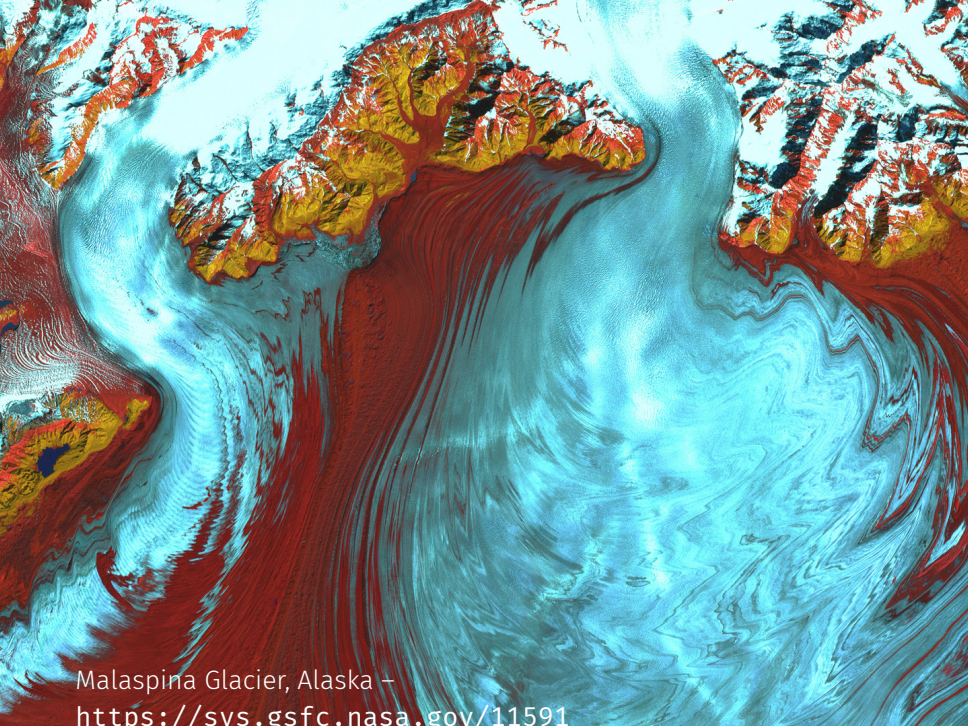
https:

//landsat.gsfc.nasa.gov/landsat-9/landsat-9-spectral-bands

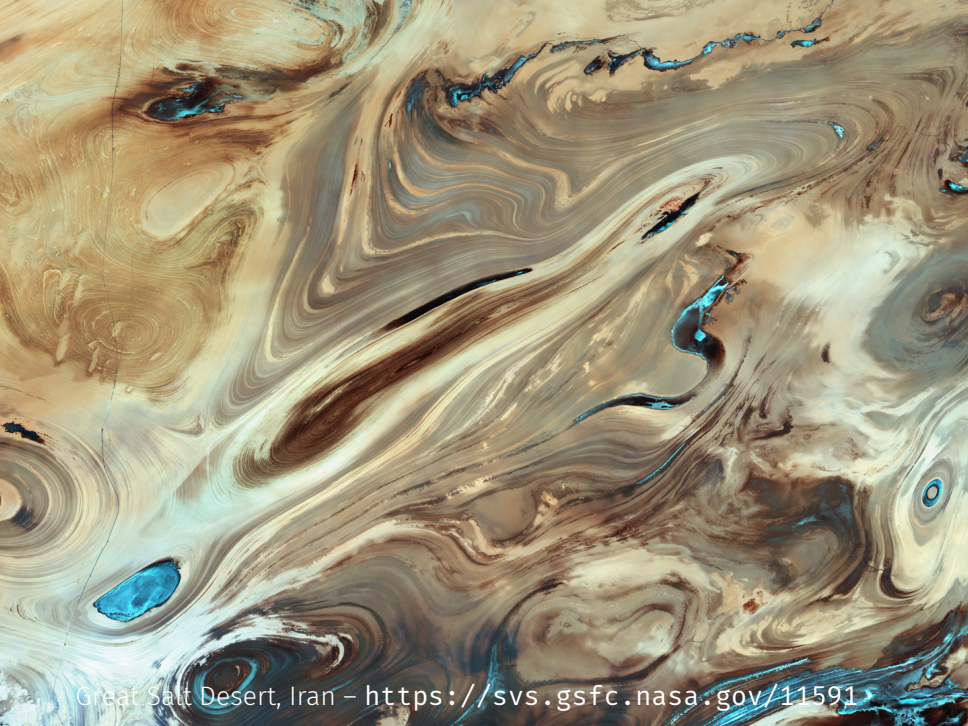




Kalahari Desert, Namibia - <https://svs.gsfc.nasa.gov/11591>



Malaspina Glacier, Alaska –
<https://svs.gsfc.nasa.gov/11591>



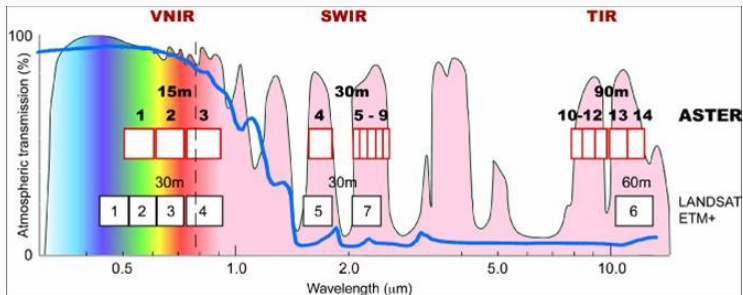
Great Salt Desert, Iran – <https://svs.gsfc.nasa.gov/11591>

- EOS AM-1
 - ASTER - Advanced Spaceborne Thermal Emission and Reflection Radiometer
 - CERES - Clouds and the Earth's Radiant Energy System
 - MISR - Multi-angle Imaging SpectroRadiometer
 - MODIS - Moderate-resolution Imaging Spectroradiometer
 - MOPITT - Measurements of Pollution in the Troposphere

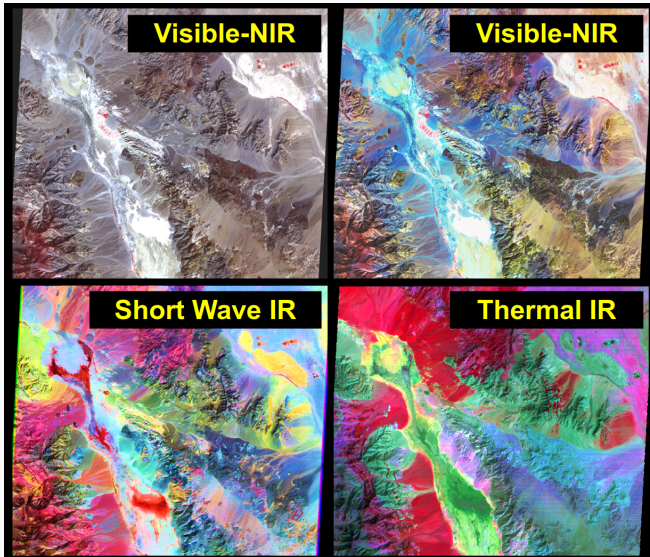
ASTER - Advanced Spaceborne Thermal Emission and Reflection Radiometer

Subsystem	Band No.	Spectral Range (μm)	Spatial Resolution, m	Quantization Levels
VNIR	1	0.52-0.60	15	8 bits
	2	0.63-0.69		
	3N	0.78-0.86		
	3B	0.78-0.86		
SWIR	4	1.60-1.70	30	8 bits
	5	2.145-2.185		
	6	2.185-2.225		
	7	2.235-2.285		
	8	2.295-2.365		
TIR	9	2.360-2.430	90	12 bits
	10	8.125-8.475		
	11	8.475-8.825		
	12	8.925-9.275		
	13	10.25-10.95		
	14	10.95-11.65		

ASTER

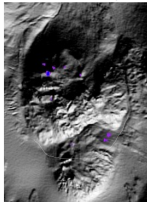


ASTER – composições coloridas



ASTER – monitoramento de vulcões

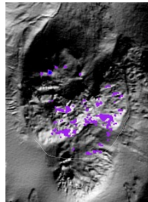
09-24-2004 – 4:30pm



Boundary of Old Dome

High = 51 °C

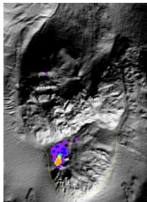
09-30-2004 – 1:30pm



Boundary of Old Dome

High = 54 °C

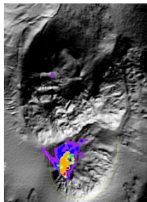
10-12-2004 – 8:00am



Boundary of New Dome

High = 181 °C

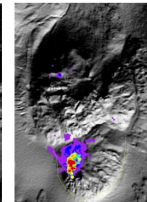
10-14-2004 – 8:00am



Boundary of New Dome

High = 250 °C

10-14-2004 – 12:45pm



Boundary of New Dome

High = 330 °C

60-75 °C

45-60 °C

30-45 °C

105-150 °C

90-105 °C

75-90 °C

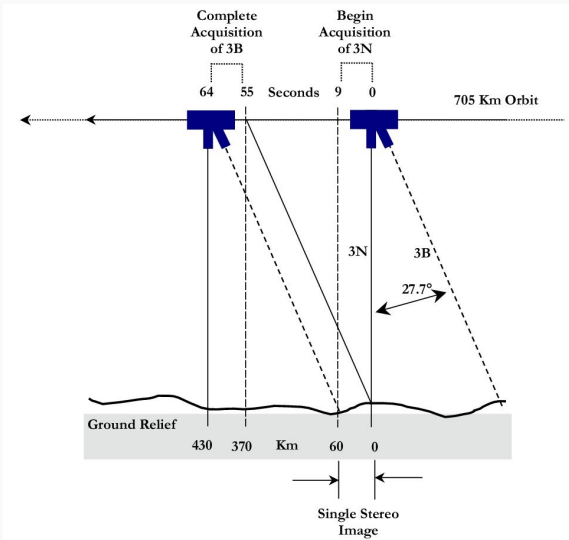
> 300 °C

200-300 °C

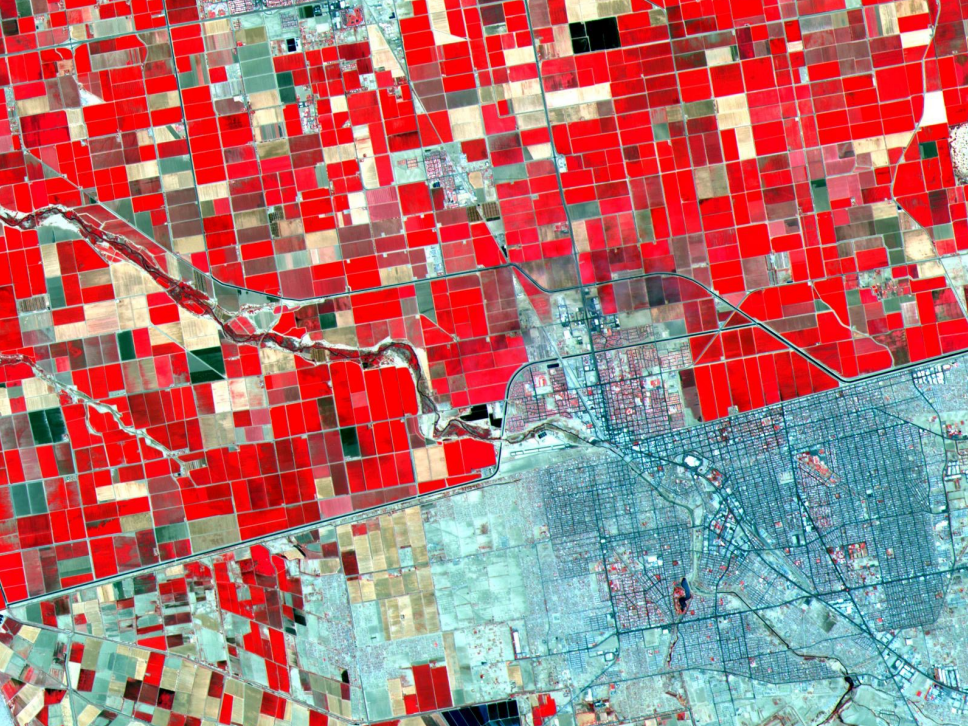
150-200 °C

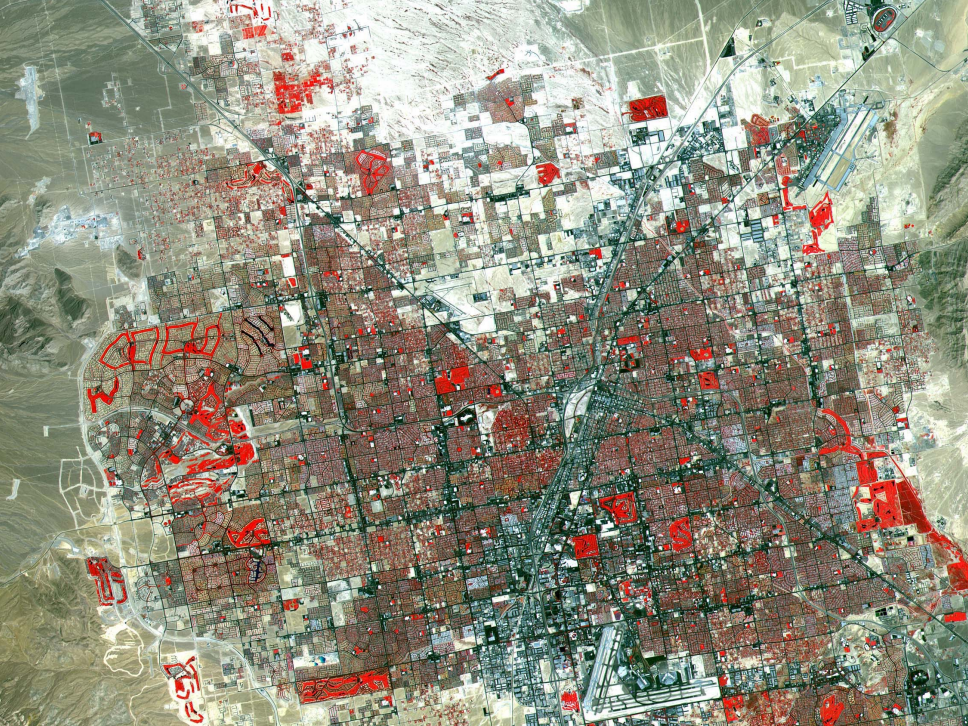
Courtesy of Greg Vaughan, JPL

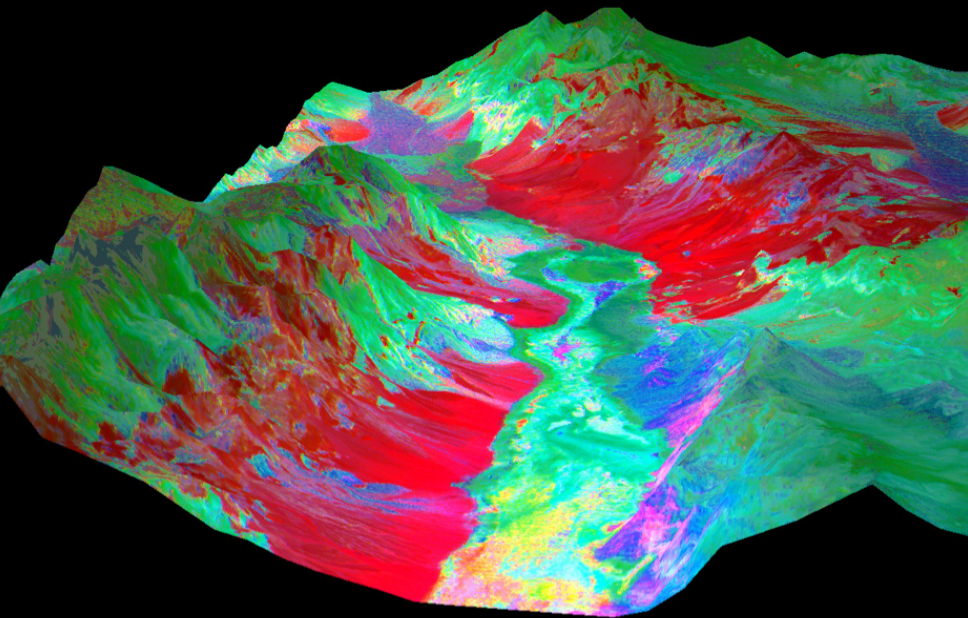
ASTER – estereoscopia







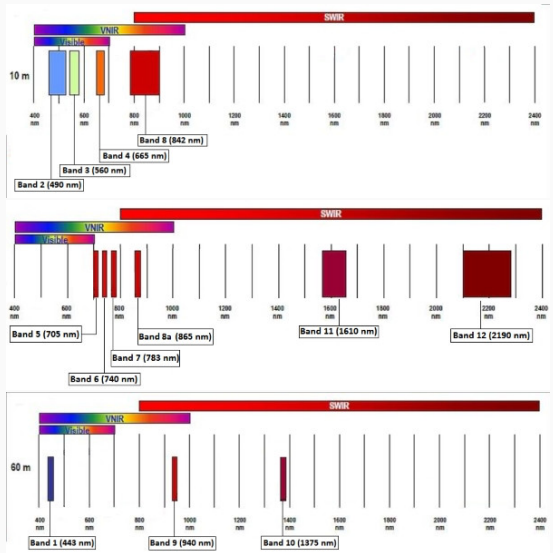




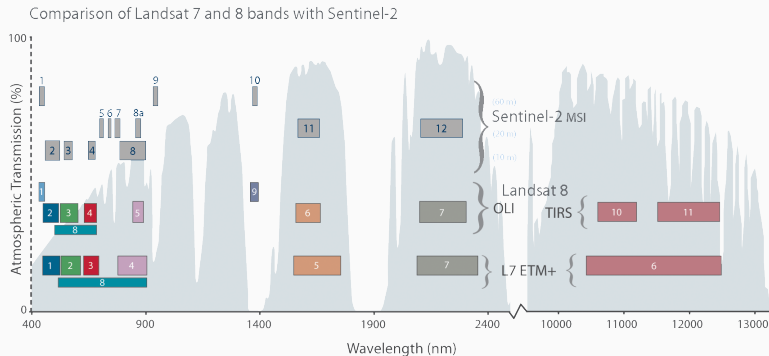
Recursos Terrestres – Sentinel 2A/2B

- ESA Copernicus

- 10m, 20m, 60m
- 13 bandas
- revisita 10 días



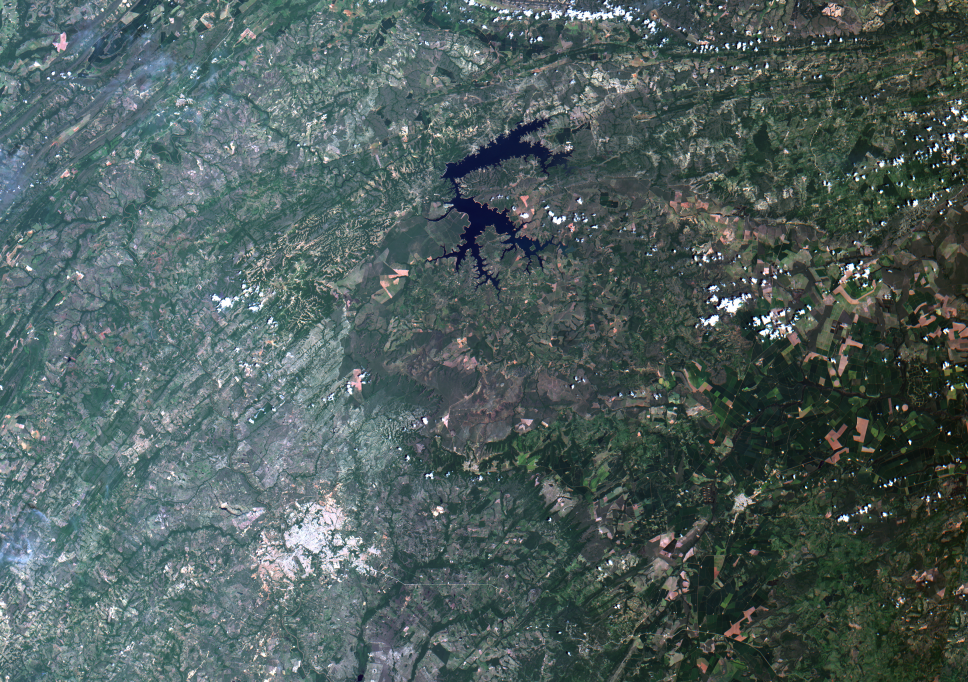
Sentinel - bandas



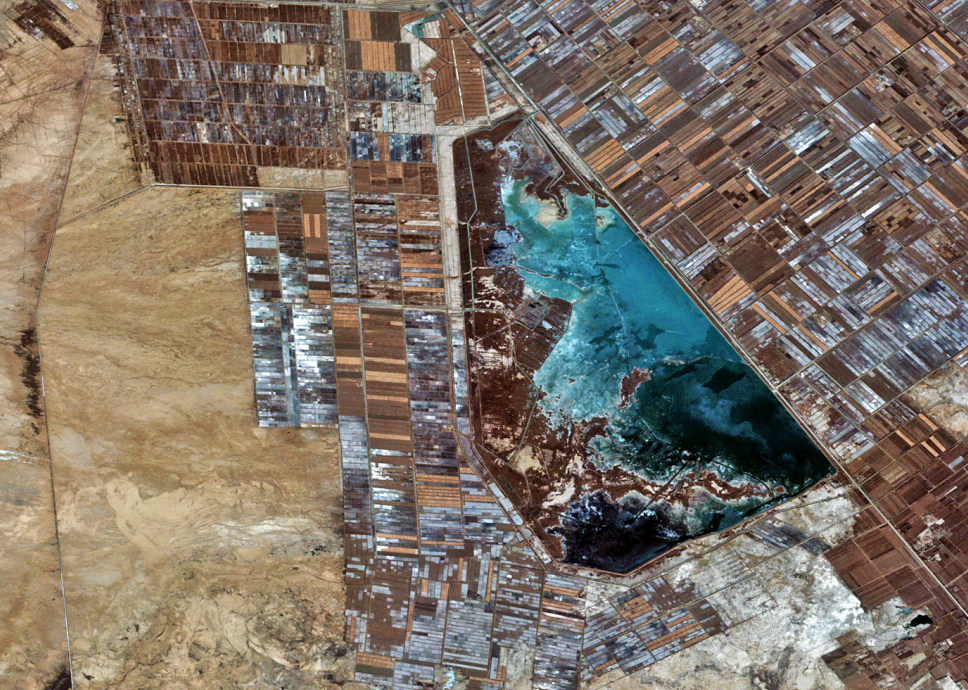
Recursos Terrestres – CBERS

- China-Brazil Earth Resources Satellite
- políticas de imagens gratuitas

Características das câmeras do CBERS 04A			
Característica	WPM	MUX	WFI
Bandas Espectrais	0,45-0,52 μ m (B) 0,52-0,59 μ m (G) 0,63-0,69 μ m (R) 0,77-0,89 μ m (NIR) 0,45-0,90 μ m (PAN)	0,45-0,52 μ m (B) 0,52-0,59 μ m (G) 0,63-0,69 μ m (R) 0,77-0,89 μ m (NIR)	0,45-0,52 μ m (B) 0,52-0,59 μ m (G) 0,63-0,69 μ m (R) 0,77-0,89 μ m (NIR)
Resolução	2 m 8 m	16,5 m	55 m
Largura da Faixa Imageada	92 km	95 km	684 km
Visada Lateral de Espelho	não	não	não
Revisita	31 dias	31 dias	5 dias
Quantização	10 bits	8 bits	10 bits
Taxa de Dados Bruta	1800.8 Mbps 450.2 Mbps	65 Mbps	50 Mbps









Primavera do Leste, MT –

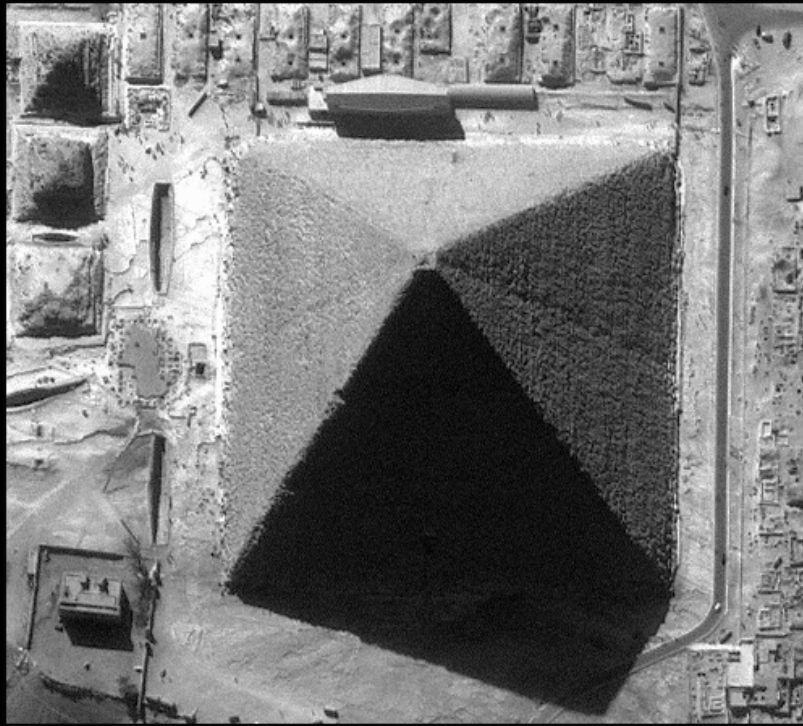
Alta Resolução - Ikonos

- 0.82m PAN, 3.2m MS
- 3-5 dias off-nadir, 144 dias nadir

Band	1-m PAN	4-m MS & 1-m PS
1 (Blue)	0.45-0.90 μm	0.445-0.516 μm
2 (Green)	*	0.506-0.595 μm
3 (Red)	*	0.632-0.698 μm
4 (Near IR)	*	0.757-0.853 μm

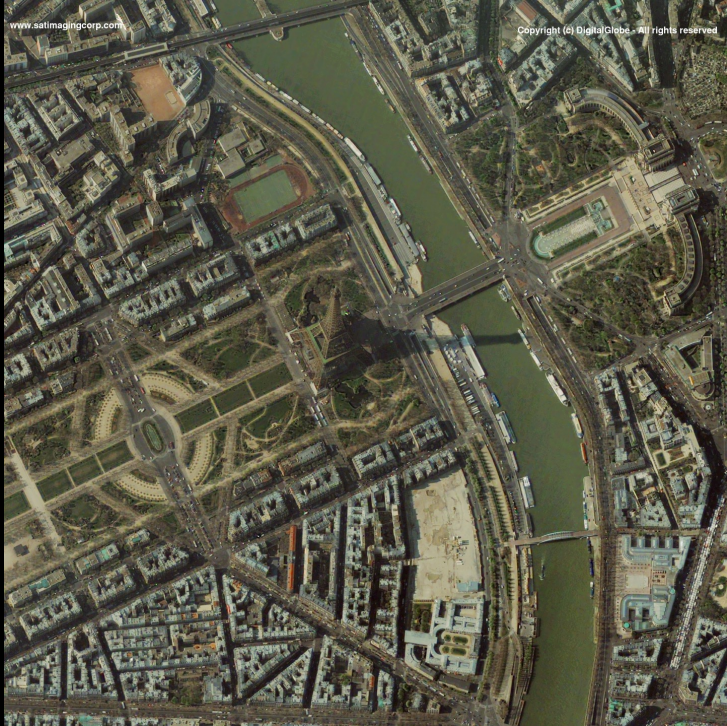






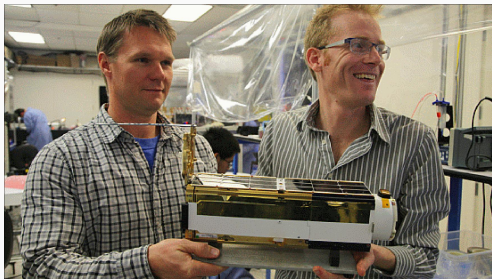
Sensor Resolution & Spectral Bandwidth	Panchromatic <ul style="list-style-type: none">● 60-centimeter GSD (Ground Sample Distance) at nadir● Black & White: 445 to 900 nanometers	Multispectral <ul style="list-style-type: none">● 2.4-meter GSD at nadir● Blue: 450 to 520 nanometers● Green: 520 to 600 nanometers● Red: 630 to 690 nanometers● Near-IR: 760 to 900 nanometers
---	--	--





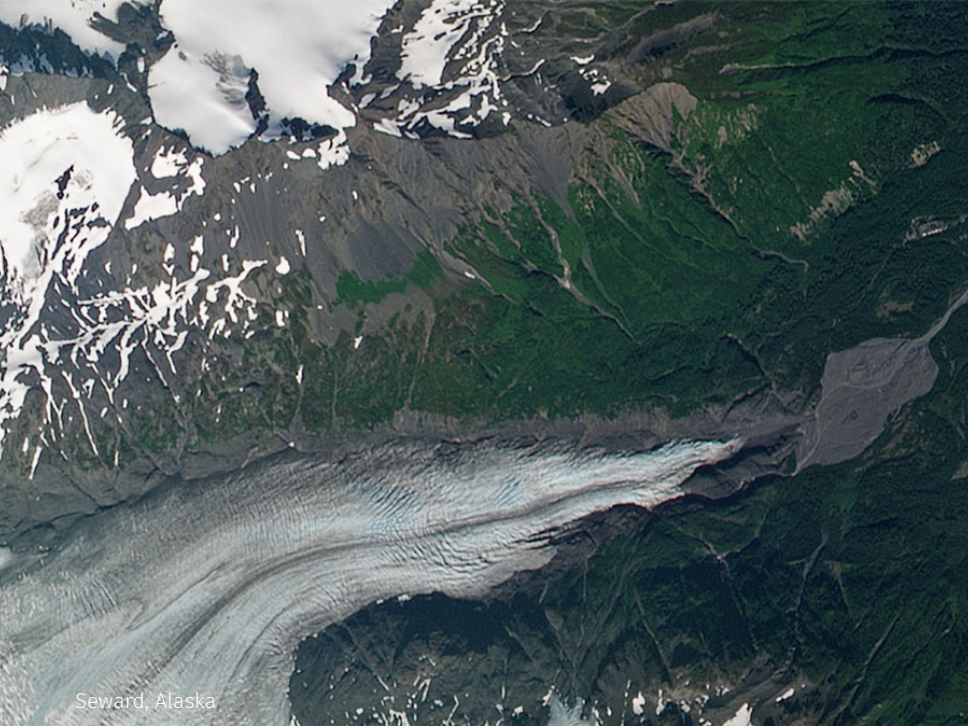
Alta Resolução - Planet

- PlanetScope – 3.7m (+180 sat.)
- RapidEye – 5m (5 sat.)
- SkySat – 50cm (21 sat.)





San Francisco, California



Seward, Alaska



Rotterdam, Netherlands

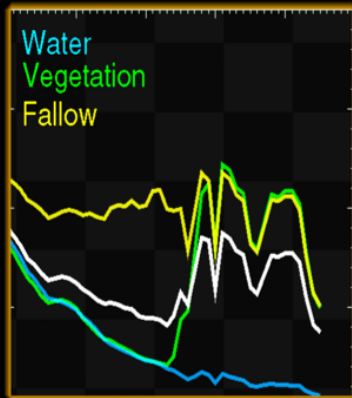
Hiperespectral - Hyperion

- 220 bandas
- 30m res.espacial
- faixa 7.5 x 100 km

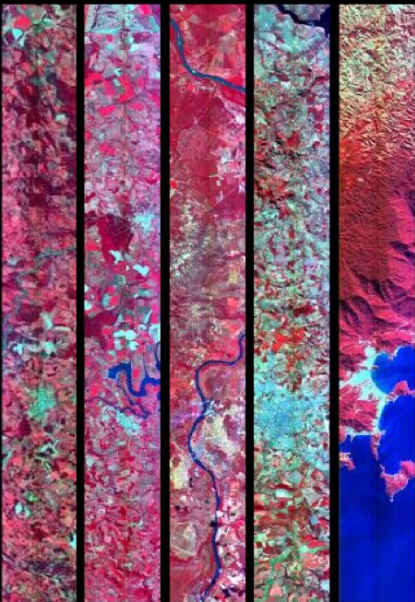
- ALI (Advanced Land Imager)
- teste de tecnologia
- sucessor do ETM+ (OLI)

EO-1/Hyperion

Analysis



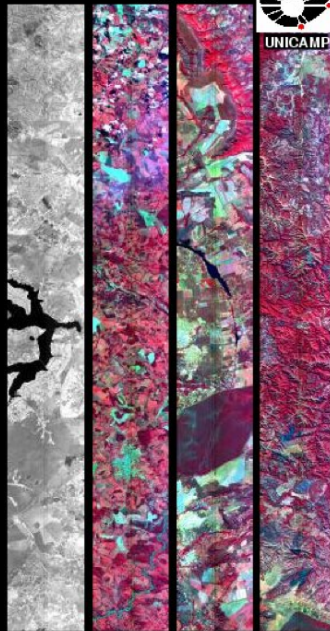
São Paulo



BH



Brasília



UNICAMP